

## 海洋深層水の放流に伴う沿岸環境特性の検討

岸 靖之\*・林 正敏\*\*・池田知司\*\*\*・田中昌宏\*\*\*\*  
角湯正剛\*\*\*\*\*・原田 晃\*\*\*\*\*・田中博通\*\*\*\*\*・高橋正征\*\*\*\*\*

水深300m層から汲み上げた海洋深層水を火力発電所の冷却水として利用後に表層放流した場合の環境変化を、深層水の取放水に伴うCO<sub>2</sub>収支と、放流域の水温、pH変化および栄養塩拡散特性から検討した。深層水を取水するとCO<sub>2</sub>を大気に放出する可能性がある。しかし、深層水を火力発電所の冷却水に利用することで発電効率が向上し、発電所からの排出CO<sub>2</sub>量を削減できると推定された。放流域の水温、pH変化および栄養塩拡散の検討では、pH、水温、栄養塩の順に変化域が広がることが明らかとなった。放流域の温度変化域は既存の表層取水型発電所に比べて狭くできることが明らかとなった。

### 1. はじめに

水深300m付近の海水(通称、海洋深層水)を汲み上げ、産業的に利用する試みが自治体を中心に推進されている。これらの取水規模は10<sup>3</sup>~10<sup>4</sup>m<sup>3</sup>/日のスケールであり、取・放水量が少ないとから、これまで環境変化に関する検討は行われてこなかった。

しかし、深層水の低温性に着目した火力発電所の発電効率の向上に利用する試みや、深層水の富栄養性を利用した海域肥沃化のための検討が進められており、これらの取水規模は10<sup>5</sup>~10<sup>6</sup>m<sup>3</sup>/日のスケールに広げられている。また、深層水は低温特性や富栄養性を有するとともに無機炭酸濃度が高いことが知られており、このような特徴を有する深層水を大量放流した場合の環境影響を、事前検討する必要がある。

本研究では、10<sup>6</sup>m<sup>3</sup>/日スケールで深層水を取水し、火力発電所(60万kW級LNG発電所)冷却水として利用した場合の環境変化について、CO<sub>2</sub>収支と、放流域における水温、栄養塩およびpHの変化を中心に検討した。

本研究は1999~2003年度に実施したNEDO共同研究「エネルギー使用合理化海洋資源活用システム開発」の成果の一部を使用したものである。

### 2. 深層水の取水に伴うCO<sub>2</sub>収支の検討

#### (1) 汲み上げ深層水の測定方法

高知県室戸市(高知県海洋深層水研究所、取水水深320~340m)と富山県滑川市(富山県水産試験場、取水水深320m)で取水された深層水について、1年間(2000年10月~2001年9月)にわたってサンプリング調査を実施した。深層水の採水は概ね1回/月の頻度とし、全炭酸、全アルカリ度、無機態窒素、リン酸、珪酸、塩分を

測定した。全炭酸と全アルカリ度用試水は大気との接触が起こらないように採水し、水銀を添加後密封した。また、栄養塩用試水は採水後直ちに凍結した。全炭酸の測定には電量滴定法(25°C)を用い、全アルカリ度の測定は酸塩基滴定法(25°C)を用いた。栄養塩の分析はTRAACS 2000を用い、塩分の測定にはAutosalを用いて分析を行った。

#### (2) 深層水の取水によるCO<sub>2</sub>収支の検討

深層水中には高濃度の栄養塩と溶存無機炭酸物質が存在している(Millero, 1996)。深層水を大量に取水し海表面に放流した場合、CO<sub>2</sub>を大気中に放出する可能性がある。しかし、同時に高濃度の栄養塩が供給され海藻や植物プランクトンによる生物固定が行われ、一度大気中に放出されたCO<sub>2</sub>を再び海洋に吸収させる可能性もある。本検討では汲み上げ深層水の放流に伴うCO<sub>2</sub>収支を、生物固定の有無に分けて推定した。CO<sub>2</sub>収支の計算方法は、原田(2000)に準じて行なった。すなわち、化学平衡計算はLewis-Wallace(1998)にしたがい、平衡定数はRoyら(1993)を適用した。

生物固定が無い場合のCO<sub>2</sub>収支は、深層中の全炭酸濃度と大気平衡後の全炭酸濃度の差から計算した。深層中の全アルカリ度は変化しないと仮定し、大気平衡後の全炭酸濃度は、深層中の全アルカリ度と大気平衡後のCO<sub>2</sub>分圧より計算した。大気平衡後のCO<sub>2</sub>分圧は、大気中のCO<sub>2</sub>分圧と等しくなるとし、360μatmとした。

生物固定を考慮した場合のCO<sub>2</sub>収支は、深層中の全炭酸濃度から、生物固定された全炭酸量と大気平衡後の全炭酸濃度を差し引いて求めた。光合成によるCO<sub>2</sub>固定量は、無機態窒素濃度とRedfield比(海洋における有機物の一般的モル比、C:N:P=106:16:1)から計算した。生物固定が起こると深層中の硝酸態窒素が消費されるため、アルカリ度が変化するとともに、リン酸濃度が減少する。そこで、大気平衡後の全炭酸濃度は、深層中のアルカリ度およびリン酸濃度の変化を考慮して計算した。

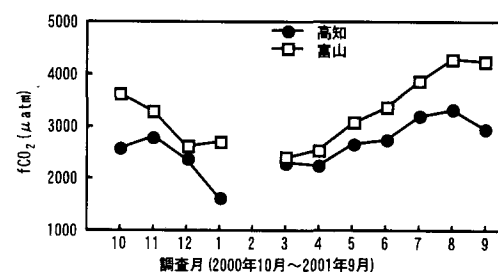
#### (3) 深層水の汲み上げによるCO<sub>2</sub>収支の検討

深層水中的全炭酸、全アルカリ度の測定結果を図-1

\* 正会員 工修 (株)関西総合環境センター技術開発部  
\*\* 農修 (株)関西総合環境センター技術開発部  
\*\*\* 農博 (株)関西総合環境センター技術開発部  
\*\*\*\* 正会員 工博 鹿島建設(株)技術研究所  
\*\*\*\*\* フェロー 工博 (財)電力中央研究所環境科学研究所  
\*\*\*\*\* 水博 (独)産業技術総合研究所環境管理研究部門  
\*\*\*\*\* 正会員 工博 東海大学海洋学部海洋土木工学科  
\*\*\*\*\* 理博 高知大学大学院黒潮圏海洋科学研究科

に示した。深層水中の全炭酸濃度は、高知では $2,244\sim2,319 \mu\text{mol}/\text{kg}$ 、全アルカリ度では $2,272\sim2,303 \mu\text{eq}/\text{kg}$ の範囲にあった。富山では、全炭酸は $2,305\sim2,326 \mu\text{mol}/\text{kg}$ 、全アルカリ度は $2,251\sim2,260 \mu\text{eq}/\text{kg}$ の範囲であった。全炭酸濃度は富山がやや高く、全アルカリ度は高知がやや高くなつたが、両地点で極端な違いは認められなかつた。高知および富山の汲み上げ深層水のデータを基に二酸化炭素フガシティー( $f\text{CO}_2$ 、海水中での $\text{CO}_2$ 活量)を計算し、図-2に示した。高知では $1,607\sim3,319 \mu\text{atm}$ 、富山では $2,400\sim4,291 \mu\text{atm}$ であり、両地点とも $f\text{CO}_2$ は夏に高く、冬に相対的に低くなる傾向を示した。現在の大気中の $\text{CO}_2$ 分圧を $360 \mu\text{atm}$ とすると、高知および富山で推定された海水中の $f\text{CO}_2$ はともに $360 \mu\text{atm}$ を大きく超えるため、深層水の汲み上げによって大気中に $\text{CO}_2$ が放出される可能性があることが示された。

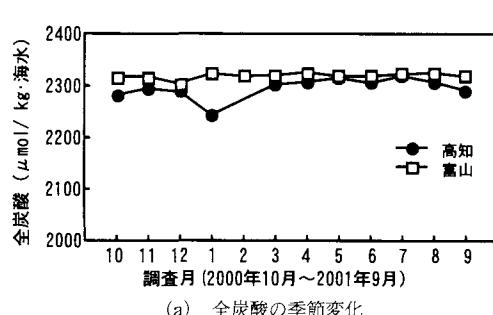
深層水を放流した場合の大気-海洋間における $\text{CO}_2$ 収支の推定結果を図-3に示した。高知では生物固定を考慮しない場合で $238\sim385 \mu\text{mol}/\text{kg}$ 、生物固定を考慮した場合は $74\sim178 \mu\text{mol}/\text{kg}$ が大気中に放出されると推定された。富山では生物固定を考慮しない場合で $261\sim412 \mu\text{mol}/\text{kg}$ 、生物固定を考慮した場合は $81\sim230 \mu\text{mol}/\text{kg}$ が大気中に放出され、両地点はほぼ同程度の放出量と推定された。 $1,000 \text{ m}^3/\text{日}$ のスケールで1年間取放水し続けた場合での $\text{CO}_2$ 収支を表-1に示した。高知では生物固定を考慮しない場合では年間に $5.3 \text{ ton}$ 、生物固

図-2 汲み上げ直後の深層水の $f\text{CO}_2$ 計算結果

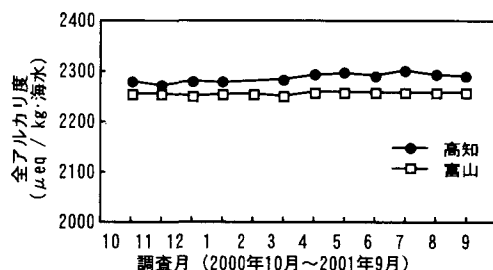
定を考慮した場合では年間に $2.1 \text{ ton}$ の $\text{CO}_2$ が大気中に放出されると推定された。また、富山では生物固定を考慮しない場合では年間に $5.5 \text{ ton}$ 、生物固定を考慮した場合では年間に $2.6 \text{ ton}$ の $\text{CO}_2$ が大気中に放出されると推定された。日本人1人当たりの $\text{CO}_2$ 放出量は $9.8 \text{ ton} \cdot \text{CO}_2/\text{年}$ と見積もられている(環境省、2003)。このため、深層水の汲み上げによる大気への $\text{CO}_2$ 放出量は、現状の我が国における取水スケール(数千~1万 $\text{m}^3/\text{日}$ )では、温暖化に及ぼす影響は、小さいと考えられた。

#### (4) 深層水の発電所冷却水への適用

角湯(2000)は深層水の低温安定特性を火力発電所の冷却水に利用することで、既設の火力発電所では概ね1.4%、新設では2.9%の発電効率が向上すると推定した。この結果を基に、出力60万kW級LNG火力発電所で、 $100 \text{ 万 } \text{ m}^3/\text{日}$ の取水を行った場合の $\text{CO}_2$ 収支の推定結果を表-2に示した。ここでは、LNG火力発電所の

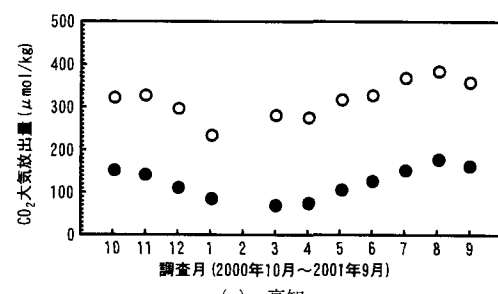


(a) 全炭酸の季節変化

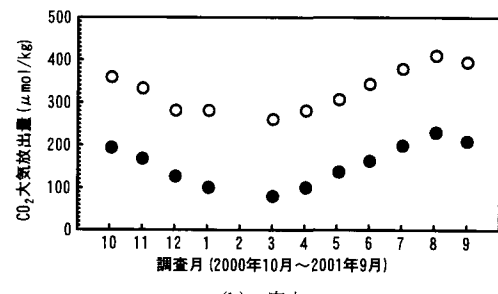


(b) 全アルカリ度の季節変化

図-1 深層水中の全炭酸濃度と全アルカリ度の季節変化



(a) 高知



(b) 富山

図-3 深層水の汲み上げに伴う $\text{CO}_2$ 放出量(○:生物固定なし、●:生物固定考慮)

表-1 深層水を1,000 m<sup>3</sup>/日で取水した場合のCO<sub>2</sub>放出量の推定

地 点	全炭酸濃度 μmol/kg	生物固定がない場合				生物固定を考慮した場合			
		大気平衡後 μmol/kg	吸 支 μmol/kg	年間吸支* CO <sub>2</sub> ton/y	生物固定後 μmol/kg	大気平衡後 μmol/kg	吸 支 μmol/kg	年間吸支* CO <sub>2</sub> ton/y	
高 知	2,244-2,319 (2,296)	1,923-2,027 (1,976)	238-385 (321)	5.3	2,112-2,133 (2,123)	1,944-2,049 (1,997)	74-178 (126)	2.1	
富 山	2,326-2,304 (2,320)	1,914-2,060 (1,987)	261-412 (333)	5.5	2,154-1,171 (2,164)	1,933-2,080 (2,006)	81-230 (157)	2.6	

( ), 平均値; \*; 1000 m<sup>3</sup>/日で365日深層水を汲み上げたとして計算(平均値使用)。

CO<sub>2</sub>排出量を137 gC/kW·h(燃料相当分)とし、発電所利用率を50%、深層水利用による発電効率の向上を1.0%とした。

深層水を冷却水に利用することで、発電所からのCO<sub>2</sub>排出量は約13,000 ton·CO<sub>2</sub>/年を削減できると推定された。一方、深層水の汲み上げによって大気中に放出されるCO<sub>2</sub>量は、約2,600 ton·CO<sub>2</sub>/年であった。この結果、生物固定を考慮しない条件では、深層水の冷却水利用によって約10,400 ton·CO<sub>2</sub>/年の放出量が削減できると推定された。また、生物固定を考慮した条件では約1,600 ton·CO<sub>2</sub>/年が生物固定されることになり、約12,000 ton·CO<sub>2</sub>/年の放出量が削減できると推定された。

### 3. 深層水の放流に伴う環境変化の検討

#### (1) 放流域の環境変化の検討方法

深層水を火力発電所の冷却水に利用した後に表層放流した場合、放流域では周囲水と異なる水塊が形成される可能性がある。この水塊は周囲水に比べて、水温が異なり、高栄養塩濃度であり、低pHとなる可能性がある。また、放流された深層水は、季節的な水塊構造と昇温条件に応じて、放流域の周囲水と密度差が生じ、拡散特性が異なる。このため、汲み上げ深層水を大量に放流する場合の環境変化の様相を把握する必要がある。

本検討では、高知県室戸市高岡地区の前面海域をモデル海域とし、先に示した汲み上げ深層水の水質データと本研究で取得した対象海域の水質データを用いて検討を行った。取水後の昇温は15°Cとして計算した。表層海水

を冷却水として利用する既存発電所と比較するため、表層海水を7°C昇温後に放流した場合の計算も併せて行った。対象海域の流れ場は、DELFT3D・鹿島モデルを用いて計算した。本モデルは、鉛直方向に静水圧近似を仮定した三次元流動モデルである。座標系は水平方向に直交曲線座標、鉛直方向にσ座標を用いており、海岸地形および海底地形を高精度に表現できるものである。計算領域は、岸冲方向が3,800 m、沿岸方向が8,700 mとし、計算格子は水平50 m×50 m、鉛直は14層(不等間隔)とした。(計算方法の詳細は田中ら(2004)参照。)

放流域のpH計算は、Lewis・Wallace(1998)のプログラムにしたがった。pH計算で必要となる、深層水の放流に伴う各計算格子での全炭酸濃度変化、全アルカリ度変化および栄養塩濃度変化は、深層水の実測データと流動計算から得られた希釈率から計算した。

#### (2) 放流域の環境変化

深層水の放流に伴う水温変化、栄養塩希釈率およびpHの海表面分布および放水口位置での岸沖断面分布を図-4に示し、海表面における1°C以上の水温上昇面積、希釈率20倍以下の面積およびpH 7.8未満の面積を表-3に示した。

深層水を15°C昇温後に表層放流した場合、夏季は表層水とほぼ等密度の海水となるのに対し、冬季は軽密度排水となる。このため夏季に放流された深層水は表層から底層にかけて拡散するのに対し、冬季に放流された深層水は表層を中心に拡散する。環境水温に対して1°C以上の温度変化域は、冬季は広く、夏季は狭くなり、夏季は

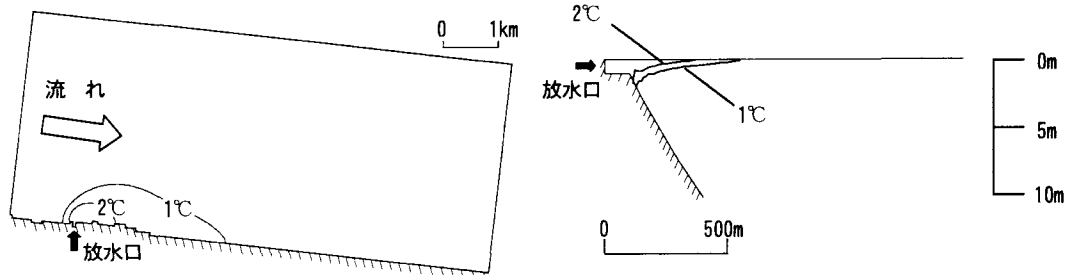
表-2 深層水の発電所利用によるCO<sub>2</sub>削減効果

項 目	高 知	富 山
発電利用時のCO <sub>2</sub> 削減期待値* A, (ton/y)	13,201	
生物固定無し		
深層水取水 CO <sub>2</sub> 放出量 B, (ton/y)	2,633	2,733
発電利用によるCO <sub>2</sub> 収支 A-B (ton/y)	10,568	10,468
生物固定考慮		
深層水取水 CO <sub>2</sub> 放出量 B, (ton/y)	1,037	1,291
発電利用によるCO <sub>2</sub> 収支 A-B (ton/y)	12,165	11,910

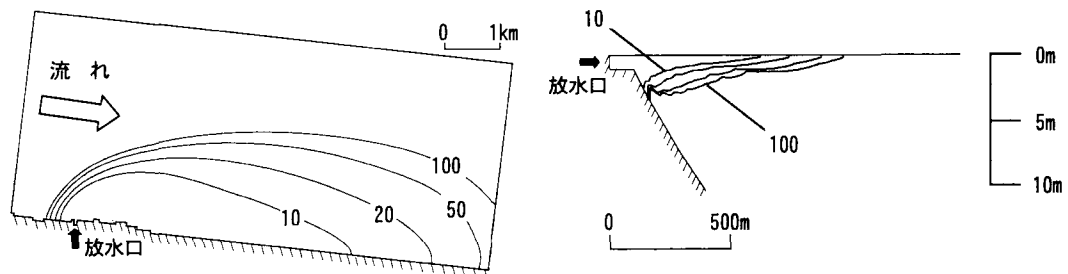
\*60万kW LNG発電所を想定(取水量100万m<sup>3</sup>/日)。発電所利用率を50%とし、発電効率の向上を1%で計算。

冬季の約1/250となった。栄養塩は、夏季および冬季ともに広範囲に拡散し、夏季および冬季の海表面の20倍希釈面積は、それぞれ約 $1.1 \times 10^6 \text{ m}^2$ 、約 $7.0 \times 10^6 \text{ m}^2$ となつた。pHの変化は高炭酸を含む深層水特有の現象である

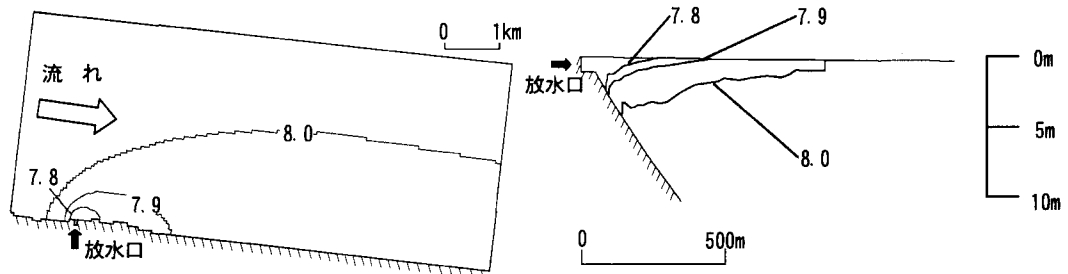
が、環境基準値の7.8未満で判断すると、夏季および冬季とともに影響範囲は放水口のごく近傍に限られ、これによる放流域の変化は $1.1 \times 10^4 \text{ m}^2 \sim 1.1 \times 10^5 \text{ m}^2$ でありごく狭域であった。



(a) 深層水の放流に伴う水温変化(左:海表面、右:放水口における岸沖断面)



(b) 深層水の放流に伴う栄養塩希釈率(左:海表面、右:放水口における岸沖断面)



(c) 深層水の放流に伴うpH分布(左:海表面、右:放水口における岸沖断面)

図-4 深層水の放流に伴う環境変化(冬季)

表-3 深層水放流域の各項目の面積と、表層水利用時の比較

計算条件	水温変化域 <sup>*1</sup>	pH変化域 <sup>*2</sup>	栄養塩濃度拡散域 <sup>*3</sup>
深層水利用 $\Delta t = 15^\circ\text{C}$	夏期 6,282 冬期 1,645,845	11,341 114,230	1,119,095 6,956,736
表層水利用 $\Delta t = 7^\circ\text{C}$	夏期 1,230,158 冬期 1,660,687	— —	— —

\*1, 1°C以上の変化域面積 ( $\text{m}^2$ ) ; \*2, pH 7.8未満面積 ( $\text{m}^2$ ) ; \*3, 20倍希釈域面積 ( $\text{m}^2$ )

**表-3** に表層水を取水し、7°C昇温して放流した場合(通常の発電所)の1°C以上水温変化面積の計算結果を示した。冬季の水温変化域は深層水取水のケースとほぼ同等であるが、夏季の水温変化面積は深層取水のケースに比べて、約200倍と極めて大きくなる結果となった。このため年間を通じた深層水の冷却水利用は、表層取水を行う既存発電所に比べ格段に拡散範囲を狭くすることが可能であると推定された。

#### 4. 考 察

深層水を大量に取水し、放流した場合の環境への作用として、CO<sub>2</sub>の放出の可能性と放流域の水温、pH、栄養塩濃度変化について検討した。このうち、CO<sub>2</sub>収支、pHおよび栄養塩濃度の変化は、深層水の放流によって特徴的に起こる変化である。

CO<sub>2</sub>放出の可能性については、深層水の低温安定特性を発電所冷却水として利用することにより、発電所から大気中へ放出されるCO<sub>2</sub>を削減できることが明らかとなつた。また、放流域の環境変化は、深層水を15°C昇温後に放流した場合、従来型の表層水取水型発電所に比べて、水温変化域を狭くすることができることが明らかとなつた。一方で、ごく狭い領域であるが低pH域が形成されること、また広範囲において高栄養塩濃度域が形成されることが明らかとなつた。深層水を放流した場合、植物プランクトンの増殖が促進されることが明らかとなっている(池谷ら、2001; Hayashiら、2002)。また、赤潮生物の増殖を抑制し、珪藻を増殖させる効果(Ichimiら、in press)や、海藻の成長促進効果も期待されている(日本海洋開発産業協会、2003)。これらの知見は深層水の放流により、場所によっては富栄養化を促進させる可能性を有するものの、海域の一次生産を促進し、また海藻の生育を促進させるプラス効果が期待できることを示唆す

るものである。

現在、本研究の中で、深層水の放流による富栄養化の検討、藻場への作用を検討中である。今後、これらの成果も加え、深層水の発電所冷却水利用による環境変化に及ぼす作用を明らかにする。

#### 参 考 文 献

- 池谷 透・中谷誠治・深堀芳雄・西岡 純・武田重信・川延京子・高橋正征(2001): 海洋深層水による亜熱帯表層水の肥沃化効果の屋外メソコスム実験による検証、海洋深層水研究、第2巻第1号、pp. 73-86.
- 角湯正剛(2000): 火力・原子力発電所での海洋深層水の冷却水としての利用の可能性、海洋深層水、月刊海洋(総特集), pp. 229-233.
- 環境省編(2003): 平成15年版環境白書、p. 92.
- 社団法人日本海洋開発産業協会(2003): 平成14年度エネルギー使用合理化海洋資源活用システム開発事業成果報告書、1123 p.
- 田中昌宏・岸 靖之・池田知司・高月邦夫・乾 悅郎(2004): 海洋深層水の発電所冷却水利用後の沿岸放流拡散特性に関する検討、海岸工学論文集、第51巻、pp. 1276-1280.
- 原田 晃(2000): 海洋深層水利用で考えられる二酸化炭素の問題、海洋深層水、月刊海洋(総特集), pp. 56-61.
- Hayashi, M., T. Ikeda, K. Otsuka and M. Takahashi (2002): Assessment on environmental effects of deep ocean water discharged into coastal sea, Recent advances in marine science and technology, pp. 535-546.
- Ichimi, K., T. Ikeda, K. Tada and S. Montani (2004): Growth characteristics of noxious flagellates and diatoms in deep seawater, Jurnal of Applied Phycology (in press)
- Lewis, E. and D. W. R. Wallace (1998): Program Developed for CO<sub>2</sub> System Calculations, ORNL/CDIAC-105, Carbon Dioxide Information Analysis Center.
- Millero, F. J (1996): Chemical Oceanography, CRC Press LLC, 469 p.
- Roy, R. N., L. N. Roy, K. M. Vogel, C. Porter-Moore, T. Pearson, C. E. Good, F. J. Millero and D. M. Campbell (1993): The dissociation constants of carbonic acid in seawater at salinities 5 to 45 and temperatures 0 to 45°C, Marine Chemistry, Vol. 44, pp. 249-267.